

بررسی سنتز فاز β -SiAlON از پیش‌سازه نانو کامپوزیت (پلی ۴ - وینیل پیریدین / Al-SBA-15)، توسط فرآیند احیاء کربوترمال و نیتریداسیون

سارا عباسپور^۱، امیرعباس نوربخش^{۲*}، روزبه جواد کلباسی^۳، فرهاد گلستانی‌فرد^۴

۱- دانشجوی کارشناسی ارشد، دانشگاه آزاد اسلامی، واحد نجف‌آباد، دانشکده مهندسی مواد، اصفهان، ایران

۲- استادیار، دانشگاه آزاد اسلامی، واحد شهرضا، گروه مهندسی مواد، اصفهان، ایران

۳- استادیار، دانشگاه آزاد اسلامی، واحد شهرضا، گروه مهندسی مواد، اصفهان، ایران

۴- استاد، دانشگاه علم و صنعت، دانشکده مهندسی مواد، تهران، ایران

*Nourbakhsh@Iaush.ac.ir

(تاریخ دریافت: ۱۳۸۹/۱۲/۰۱، تاریخ پذیرش: ۱۳۹۰/۰۲/۱۷)

چکیده

در تحقیق حاضر خواص پیش‌سازه نانو کامپوزیت (پلی ۴ - وینیل پیریدین / Al-SBA-15) در راستای تشکیل فاز β -SiAlON توسط فرآیند احیای کربوترمال و نیتریداسیون (CRN) مورد بررسی قرار گرفته است. بدین منظور ابتدا نانو کامپوزیت ۱۵ P4VP/Al-SBA سنتز گردید و سپس نمونه‌ها در اتمسفر نیتروژن در دمای ۱۴۵۰ درجه سانتی گراد، با نرخ گرمایش (۱۰°C/min) و زمان ماندگاری (صفرو ۶ ساعت) در درجه حرارت ماکریم، تحت عملیات پخت قرار گرفتند. نتایج بررسی‌های آنالیز فازی (XRD) نشان داد که ساختار مزوپروس به خوبی تشکیل شده و بررسی‌های SEM و TEM این موضوع را به خوبی تایید نمود. طیف ^{27}Al -NMR نشان داد که حضور Al درون ساختار Al-SBA-15 حتمی می‌باشد، طیف ^{29}Si -NMR نشان داد که پلیمریزاسیون بر روی سطح Al-SBA-15 به صورت موفقیت‌آمیزی مزوپروس بالاتر از استوکیومتری امری اجتناب‌ناپذیر می‌باشد.

واژه‌های کلیدی:

نانو کامپوزیت، سیالون، کربوترمال، Al-SBA-15

۱- مقدمه

سرامیک‌های بر پایه سیالون کاندیدای مناسبی جهت کاربردهای بالا، استحکام مناسب در درجه حرارت بالا، مقاومت در برابر خوردگی و پایداری در برابر شوک حرارتی در سالیان گذشته مهندسی بوده و به دلیل خواص مناسبی همچون تافنس شکست

منحصر به فرد نانو کامپوزیت Al-SBA-15 بوده که می‌تواند جهت سنتز β -SiAlON توسط فرآیند CRN مورد استفاده قرار گیرد [۱۳].

در کار تحقیقاتی حاضر ابتدا نانو کامپوزیت P4VP/Al-SBA-15 درست گردید و خواص پیش‌سازه نانو کامپوزیت سنتز شده توسط بررسی‌های ریز‌ساختاری (TEM)، آنالیز فازی (XRD) و تشخیص مغناطیسی هسته (MAS-NMR) مورد سنجش قرار گرفته و سپس نمونه‌ها در اتمسفر نیتروژن در دمای ۱۴۵۰ درجه سانتی‌گراد، با نرخ گرمایش ($10^{\circ}\text{C}/\text{min}$) و زمان ماندگاری (صفح و ۶ ساعت) در درجه حرارت ماکزیمم، تحت عملیات پخت جهت تشكیل فاز β -SiAlON قرار گرفتند.

۲- مواد و روش تحقیق

مواد اولیه مورد استفاده جهت سنتز Al-SBA-15 شامل ترا اتیل ارتوسیلیکات (TEOS) به عنوان منبع سیلیس، Aluminium isopropoxide پلیمر P123 ($\text{PEO}_{20}\text{PPO}_{70}\text{PEO}_{20}$) به عنوان سورفکتانت جهت ایجاد ساختار مزوپروس و همچنین اسید فسفویک در راستای ایجاد محیط اسیدی و تنظیم PH حدود ۱ استفاده گردید. جهت بررسی الگوی تفرق اشعه X از دستگاه (XRD) با لامپ مس (D8ADVANCE,Germany) با طول موج $1/\text{۵۴۰۶}^{\circ}\text{A}$ و فیلتر نیکل استفاده گردید. جهت بررسی ریز‌ساختاری از میکروسکوپ الکترونی عبوری (TEM) مدل Jeol model jem 2011 (Jeol model jem 6500) به همراه سیستم EDS (SEM) استفاده شد، بررسی‌های تشید مغناطیسی هسته با چرخش تحت زاویه جادویی (MAS-NMR) ^{29}Si (^{27}Al) توسط طیف سنج BRUKER و با میدان مغناطیسی اعمالی $11/7$ Tesla انجام گردید. جهت مشخص نمودن طیف $^{27}\text{Al-NMR}$ از پروب با جنس Si_3N_4 به قطر 4 میلی‌متر، با فرکانس چرخش $10-12\text{ KHz}$ و کلیه جابجایی‌های شیمیایی (ppm) نسبت به $\text{Al}(\text{H}_2\text{O})_6^{+3}$ مورد سنجش قرار گرفت و برای مشخص نمودن

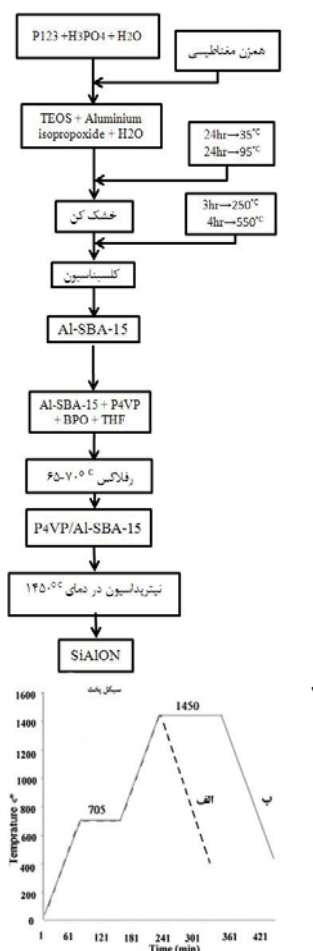
مورد توجه محققین قرار گرفته است [۱]. سیالون‌ها را در واقع می‌توان به عنوان محلول جامد Si_3N_4 و با جایگزینی Al به جای Si و O به جای N تصویر نمود [۲]. یکی از فازهای مهم در سیستم سرامیک‌های بر پایه سیالون β -SiAlON به فرمول $(\text{Si}_{6-z}\text{Al}_z\text{O}_z\text{N}_{8-z})$ ($Z<4/2$) می‌باشد [۳ و ۴]. سنتز β -SiAlON توسط روش‌های مختلفی مانند مخلوط کردن AlN , Si_3N_4 , Al_2O_3 و SiO_2 و پخت در اتمسفر نیتروژن، فرآیند احیای کربوترمال و نیتریداسیون (CRN) با استفاده از مواد طبیعی همچون کائولینیت، هالویزیت، ایلیت، زئولیت طبیعی و سنتزی [۵ و ۸]، فرآیند ترکیبات بین لایه‌ای ۱ و فرآیند احیای سیلیکوترمال و نیتریداسیون صورت پذیرفته است [۹].

در بین روش‌های فوق به دلیل عدم کنترل دقیق نسبت Al/Si در اشل اتمی عمدتاً مقدار پارامتر Z در ترکیب نمونه متفاوت بوده و این در حالی است که با استفاده از نانو کامپوزیت‌های مزوپروس سیلیکاتی و دوب شده با Al این مشکل تا حدودی رفع گردیده است [۱۰]. استفاده از پیش‌سازه درشت حفره سیلیکاتی اخیراً توجه محققین را جهت سنتز سرامیک‌های غیر اکسیدی به خود جلب نموده است. در این میان می‌توان به الگوهای درشت حفره همچون MCM-48, MCM-41 و SBA-15^۳ اشاره نمود [۱۱]. درشت حفره‌ها (مزوپروس‌ها) دسته‌ای از مواد نانوحفره با قطر ($2-50\text{ nm}$) می‌باشند و دارای ویژگی‌های مناسبی همچون جذب سطحی بالا، سطح ویژه بالا، نظم ساختاری و توزیع باریک حفرات می‌باشند که در این میان سیلیکای مزوپروس 15 SBA با مساحت سطح ویژه بالا حدود ($782/46\text{ m}^2/\text{g}$ ، حجم بالای حفره‌های هگزاگونال، اندازه سایز حفره (به طور نرمال $4-6\text{ nm}$) و مقاومت حرارتی بالا به عنوان بهترین سیلیکای درشت حفره با تقارن دو بعدی بوده که دارای منافذ یکسان با آرایش شش ضلعی می‌باشد [۱۲]. قابلیت به دست آوردن مخلوط ($\text{SiO}_2\text{-Al}_2\text{O}_3\text{-C}$) در اشل اتمی و در سایز نانو توسط تلقیح کربن (ناشی از پلیمر) و آلومینیم (ناشی از پیش سازه‌های آلومینیم‌دار) در داخل کانال‌های SBA-15، تغییر دقیق نسبت Al/Si در نانو کامپوزیت ($\text{SiO}_2\text{-Al}_2\text{O}_3\text{-C}$) از شاخص‌های

مخلوط اضافه کرده و سپس مخلوط را در دمای ۶۵-۷۰ درجه سانتی گراد به مدت ۵ ساعت در عمل رفلاکس قرار داده تا کامپوزیت پودری نرم و سفید رنگ ایجاد گردد.

۲-۳- سنتز سیالون

پودر نانو کامپوزیت P4VP/Al-SBA-15 به دست آمده در مرحله ۲-۲ در اتمسفر نیتروژن در دمای ۱۴۵۰ درجه سانتی گراد با نرخ گرمایش ($10^{\circ}\text{C}/\text{min}$) و زمان ماندگاری (صفر و ۶ ساعت) در درجه حرارت ماکزیمم تحت عملیات پخت جهت تشکیل فاز β -SiAlON قرار گرفتند. شماتیک کلی فرآیند سنتز سیالون از پیش‌سازه P4VP/Al-SBA-15 به همراه سیکل پخت در شکل (۱) نمایش داده شده است.



شکل (۱): ۱) شماتیک کلی فرآیند سنتز سیالون از پیش‌سازه نانو کامپوزیت (۲) سیکل پخت با نرخ گرمایش ($10^{\circ}\text{C}/\text{min}$)،
الف) بدون زمان ماندگاری و ب) زمان ماندگاری ۶ ساعت.

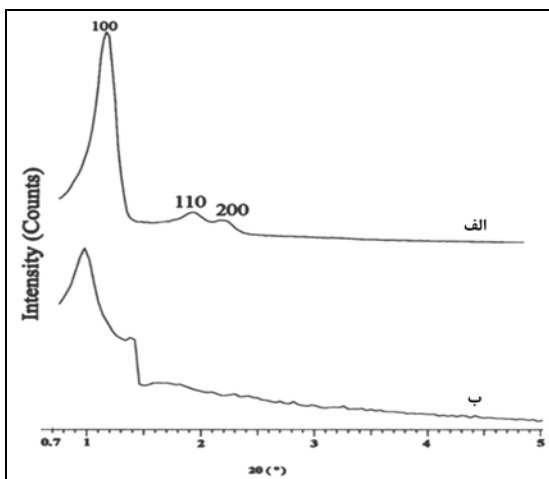
طیف $^{29}\text{Si-NMR}$ از پروب با جنس زیرکونیا به قطر ۴ میلی‌متر، با فرکانس چرخش ۶ KHz و کلیه جابجایی‌های شیمیایی (ppm) نسبت به (TMS) ترا متیل سیلان سنجش گردید. TGA/DSC توسط دستگاه SDTQ600 با نرخ گرمایش (۱۰ °C/min) و سرعت نیتروژن ۵ ml/min استفاده شد. برای اندازه‌گیری پارامترهای سطح ویژه و حجم کلی تخلخل‌ها (BET) از دستگاه Gemini modele 2365، شرکت Micromeritics استفاده گردید.

۲-۱- سنتز Al-SBA-15

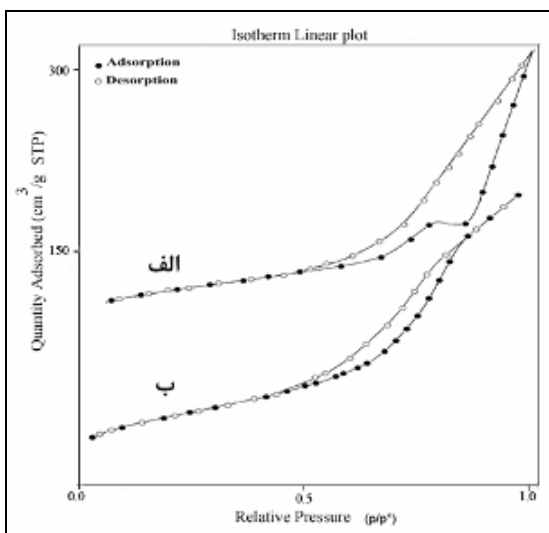
جهت سنتز Al-SBA-15، ابتدا ۲ گرم پلیمر P123 به همراه ۴/۱۶ ml اسید فسفریک ۸۵٪ و ۱۵ ml آب دوبار تقطیر با یکدیگر مخلوط شده و پس از به دست آمدن محلولی کاملاً هموژن، مواد را به همراه ۶۰ ml آب دوبار تقطیر به ارلن ۱۰۰ cc منتقل کرده و با توجه به نسبت $\text{Si/Al}=1/66$ ، که جهت سنتز $Z=2/25$ با β -SiAlON مناسب می‌باشد مقدار مناسب ترا اتیل ارتوسیلیکات (TEOS) جهت تامین Si ساختار سیالون به محلول اضافه گردید. محلول فوق به مدت ۲۴ ساعت در دمای ۳۵ درجه سانتی گراد و ۲۴ ساعت در دمای ۱۰۰ درجه سانتی گراد توسط یک همزن مغناطیسی همزده شد و سپس محلول فوق تحت عملیات شستشو قرار گرفت و به مدت ۱۲ ساعت در درجه حرارت ۹۵ درجه سانتی گراد درون آون خشک گردید. پودر حاصله ابتدا در دمای ۲۵۰ درجه سانتی گراد به مدت ۲ ساعت و سپس در دمای ۵۵۰ درجه سانتی گراد به مدت ۳ ساعت درون کوره جهت عملیات کلسیناسیون قرار گرفت.

۲-۲- سنتز نانو کامپوزیت

جهت سنتز نانو کامپوزیت P4VP/Al-SBA-15، ۰.۵ g P4VP/Al-SBA-15 سنتز شده در مرحله قبل را به همراه ۰.۵ ml مونومر ۴-وینیل پیریدین داخل یک بالن ۲۵ cc ریخته و میزان ۷ ml حلal ترا هیدروفوران (THF) و همچنین مقدار مناسبی بنزوئیل پراکسید به عنوان آغازگر واکنش پلیمریزاسیون به



شکل (۲): طیف XRD (الف) SBA-15 و (ب) Al-SBA-15



شکل (۳): نمودار هم دمای جذب و دفع نیتروژن (BET) (الف) Al-SBA-15، (ب) نانو کامپوزیت P4VP/Al-SBA-15

جدول (۱): مشخصات حفره‌های موجود در پیش‌سازه Al-SBA-15 و نانو کامپوزیت P4VP/SBA-15 به همراه سطح ویژه.

قطر حفره D_p (nm)	حجم حفره V_p ($\text{cm}^3 \text{ g}^{-1}$)	سطح ویژه BET ($\text{m}^2 \text{ g}^{-1}$)	نمونه
۲/۴	۰/۰۶۰۴	۱۷۳/۳	Al-SBA-15
۱/۸	۰/۰۱۸۸	۶۱/۹۵	P4VP/Al-SBA-15

۳- نتایج و بحث

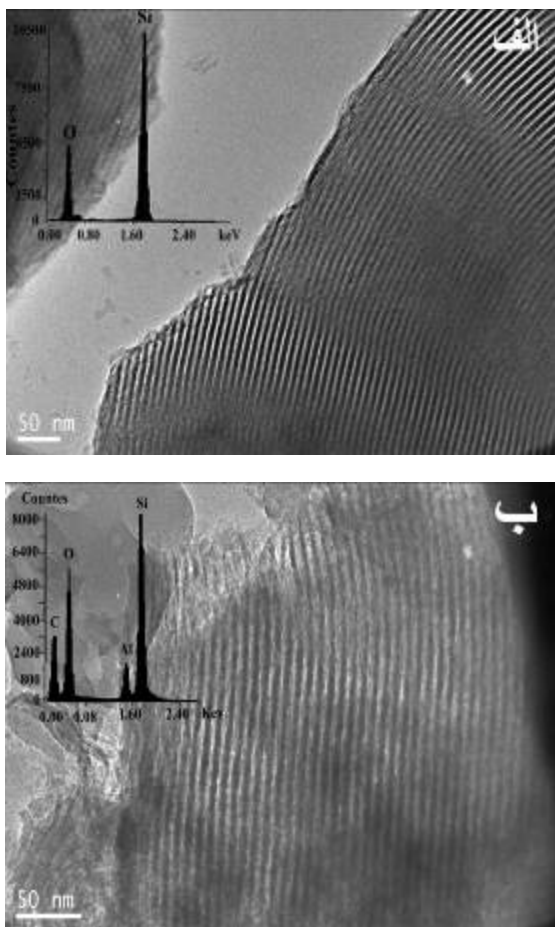
۳-۱- بررسی آنالیز فازی (XRD) از پیش‌سازه مزوپروس Al-SBA-15

شکل (۲) الگوی تفرق اشعه X در زوایای کم (Low angle XRD)، از نمونه‌های Al-SBA-15 و SBA-15، استنباط می‌گردد با حل شدن Al درون ساختار SBA-15، ساختار درشت حفره سیلیکاتی تا حد زیادی حفظ گردیده و این به دلیل وجود پیک‌هایی در زاویه‌ی پایین (کمتر از ۲ درجه) می‌باشد. ورود Al به درون ساختار SBA-15 سبب تغییر نسبی فاصله صفحات (۱۱۰) و (۲۰۰) شده و بنابراین در زوایای کمتر قابل مشاهده می‌باشند. به طور کلی از بررسی‌های انجام گرفته توسعه الگوهای تفرق اشعه X می‌توان چنین استنباط نمود که Al-SBA-15 سنتز شده نیز همچون SBA-15 دارای ساختار دو بعدی هگزاگونال با تقارن p6 mm بوده و اتم‌های Al درون ساختار درشت حفره سیلیکاتی قرار گرفته است.

۳-۲- بررسی سطح ویژه Al-SBA-15 و نانو کامپوزیت P4VP/Al-SBA-15

نمودار هم دمای جذب و دفع نیتروژن (BET) (جهت بررسی سطح ویژه Al-SBA-15 و نانو کامپوزیت ۱۵ P4VP/Al-SBA-15 در شکل (۳) نمایش داده شده است. با توجه به نحوه تغییرات جذب نیتروژن بر حسب فشار نسبی P/P_0 که یک حلقه هیسترزیس را تشکیل داده می‌توان چنین استنباط نمود که رفتار ماده فوق در حوزه مواد مزوپروس می‌باشد [۱۴]، همچنین در جدول (۱) مشخصات مربوط به حجم حفره‌ها، قطر حفره‌ها و سطح ویژه آورده شده است. از اطلاعات جدول فوق چنین استنباط می‌گردد که با افزودن پلیمر به پیش‌سازه Al-SBA-15 سطح ویژه از $173/3 \text{ m}^2 \text{ g}^{-1}$ به حدود $61/95 \text{ m}^2 \text{ g}^{-1}$ کاهش یافته و این در حالی است که قطر حفره‌ها از $2/4 \text{ nm}$ به $1/8 \text{ nm}$ کاهش یافته است. این موضوع در ارتباط با پرشدن حفره‌های هگزاگونال ساختار ۱۵ Al-SBA و در حین فرآیند پلیمریزه شدن پلی-۴-وینیل پیریدین می‌باشد.

جهت بررسی سنتر و نحوه توزیع حفره‌ها نیاز به بررسی TEM امری الزامی است. تصاویر میکروسکوپ الکترونی (TEM) از پیش‌سازه Al-SBA-15 و SBA-15 در شکل (۵) نمایش داده شده است. همان‌گونه که از اطلاعات شکل فوق استبطان می‌گردد، در اثر دوب شدن Al درون ساختار (که توسط طیف EDS به اثبات رسیده است) ساختار دو بعدی هگزاگونال منظم SBA-15 دچار تغییر شده و از درجه نظم آن تا حدودی کاسته شده است.



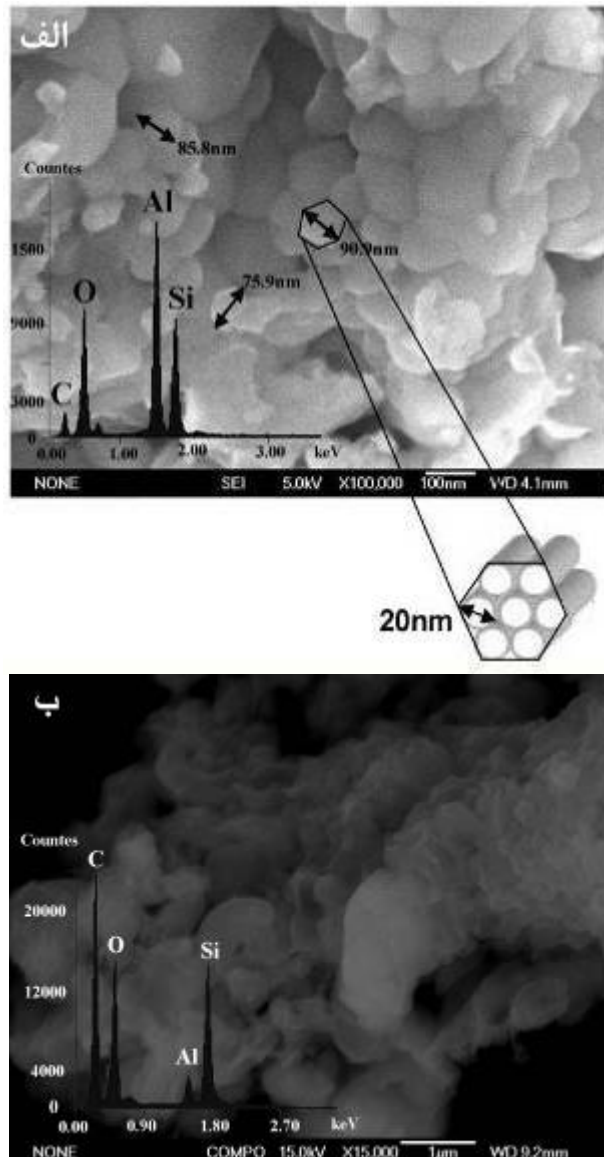
شکل(۵): تصویر TEM/EDS در جهت عمود بر راستای حفره‌ها:

(الف) و (ب) SBA-15 و (الف) Al-SBA-15

در تصویر از روی روی پیش‌سازه Al-SBA-15 در شکل (۶)، مشخص می‌گردد که حفرات هگزاگونال تقریبی به همراه قطر دیواره‌ی سیلیکات آلمینیوم دار نانو Al-SBA-15 در حدود ۲۰ nm تخمین زده می‌شود.

۳-۳-بررسی ریزساختار پیش‌سازه Al-SBA-15 و نانو کامپوزیت ۱۵ P4VP/SBA-15 توسط SEM

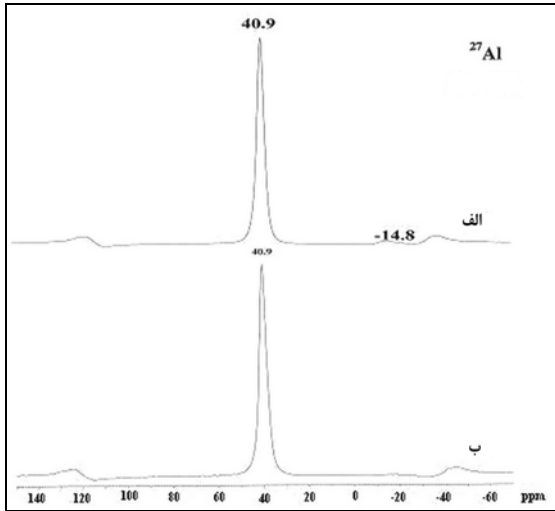
تصاویر میکروسکوپ الکترونی روبشی (SEM) از نمونه‌ی Al-SBA-15 و نانو کامپوزیت ۱۵ P4VP/SBA-15 در شکل (۴) نمایش داده شده است، همان‌گونه که مشاهده می‌گردد سایز تقریبی هگزاگونال‌ها در حدود ۸۰ nm تا ۹۰ nm بوده که ترکیبی از هفت حفره با سایز تقریبی ۱۵-۲۰ nm می‌باشد و به صورت شماتیک در شکل (۴-الف) آورده شده است.



شکل(۴): تصاویر SEM+EDS (الف) Al-SBA-15، (ب) P4VP/SBA-15، به همراه شماتیک نحوه

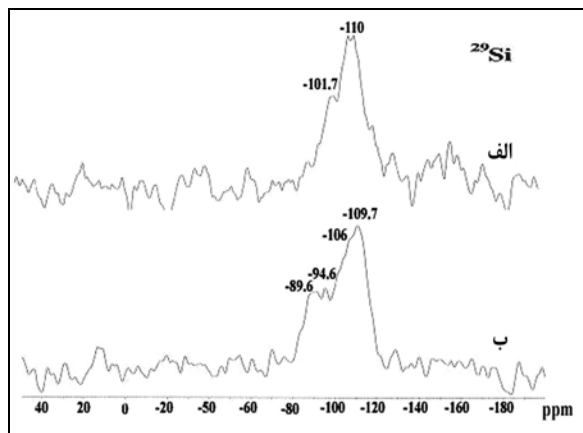
قارگیری حفرات در زمینه Al-SBA-15 و (ب) نانو کامپوزیت
P4VP/Al-SBA-15

نمی تواند وارد شود و لذا بر هم کنشی بین پلیمر و این گروهها وجود ندارد.



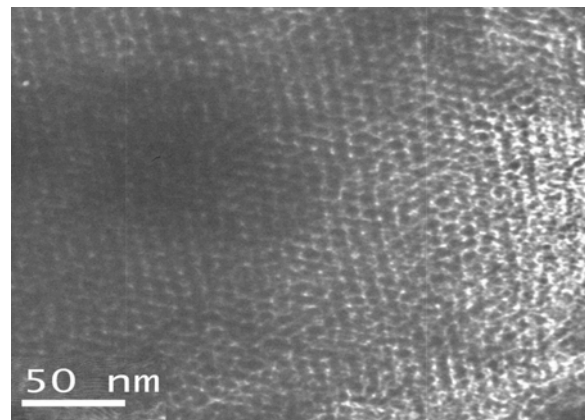
شکل (۷): طیف ^{27}Al -MAS-NMR، جابجایی شیمیایی بر حسب (ppm) در مقایسه با $\text{Al}(\text{H}_2\text{O})_6^{+3}$ (الف) طیف مربوط به Al-SBA-15 و (ب) طیف مربوط به

نانو کامپوزیت P4VP/Al-SBA-15



شکل (۸): طیف ^{29}Si -MAS-NMR، جابجایی شیمیایی بر حسب (ppm) در مقایسه با ترا متیل سیلان (TMS): (الف) Al-SBA-15 و (ب) نانو کامپوزیت P4VP/Al-SBA-15

۵-۳- پرسی آنالیز حرارتی DSC
جهت مشخص نمودن سیکل مناسب پخت ابتداء نمونه ستر شده نانو کامپوزیت P4VP/Al-SBA-15 تحت آزمایش DSC در اتمسفر N_2 قرار گرفت که نتایج آن در شکل (۹) آورده شده است. همان گونه که از اطلاعات شکل فوق استباط می‌گردد،



شکل (۹): تصویر TEM از پیش سازه Al-SBA-15 و در راستای حفره‌ها.

۴-۳- پرسی طیف شدید مغناطیسی هسته (MAS-NMR) $^{29}\text{Si-NMR}$ و $^{27}\text{Al-NMR}$

جهت تایید حضور Al درون ساختار مزوپروس سیلیکاتی از تکنیک $^{27}\text{Al-NMR}$ استفاده گردید، نتایج نشان داده در شکل (۷) که مربوط به Al-SBA-15 و نانو کامپوزیت P4VP/Al-SBA-15 می‌باشد نشان دهنده این مطلب است که یک پیک قوی در محدوده ۴۰/۹ ppm مربوط به Al تراهدرال و پیک در محدوده ۱۴/۸ ppm مربوط به Al اکتاہدرال می‌باشد. نتایج فوق حاکی از این مطلب است که حضور Al درون ساختار فوق قطعی بوده و هیچ گونه تفاوتی بین ۲ طیف مذکور نیز مشاهده نمی‌گردد.

بررسی طیف $^{29}\text{Si-NMR}$ شکل (۸) بر روی Al-SBA-15 و نانو کامپوزیت P4VP/Al-SBA-15 نشان داد که طیف مذکور در اثر فرآیند پلیمریزه شدن تغییر نموده و حضور ۲ پیک جدید در جابجایی شیمیایی های -۹۶/۶ و -۸۹/۶ ppm مشاهده می‌گردد. علت را می‌توان به بر هم کنش میان پلیمرهای SBA-15- وینیل پیریدین و گروههای عاملی OH سطح Pلی- ۴- وینیل هیدروژنی میان گروههای N حلقه پیریدین و گروههای OH سطح SBA-15 موجب ایجاد تغییرات شیمیایی اطراف هسته های Si شده و بنابراین پیکهای جدید مشاهده می‌گردد. علت آنکه در طیف $^{27}\text{Al-MAS-NMR}$ چنین تغییری مشاهده نمی‌گردد، می‌تواند به این موضوع ارتباط باید که Al در میکروپورهای Al-SBA-15 قرار گرفته و پلیمر در این حفرات

۳-۶- بررسی الگوی تفرق اشعه X (XRD)، نمونه نیتریده شده

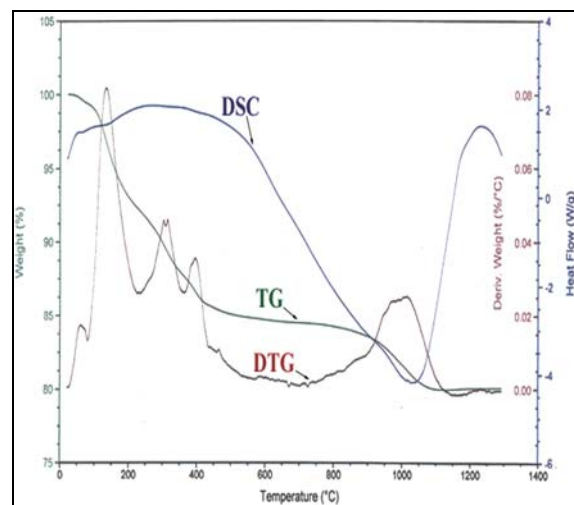
الگوی تفرق اشعه X از نمونه نانو کامپوزیت P4VP/Al-SBA-15 نیتریده شده در ۱۴۵۰ درجه سانتی گراد بدون در نظر گرفتن زمان ماندگاری در درجه حرارت ماکریم در شکل (۱۰-الف) نشان داد که فازهای حاصله عمدتاً مولایت و مقدار کمی فاز کریستالیت می‌باشد، این نکته نیز نشان دهنده انتخاب مناسب Al و Si در پیش‌سازه مذکور می‌باشد. الگوی تفرق اشعه X نمونه نیتریده شده در ۱۴۵۰ درجه سانتی گراد و با زمان ماندگاری ۶ ساعت شکل (۱۰-ب) نشان داد که سنتز فازهای نیتریدی علاوه بر درجه حرارت و زمان ماندگاری در درجه حرارت ماکریم تابع شدید میزان کربن و احتمالاً نوع کربن بوده و حتی در حضور پیش‌سازه‌ای با سطح ویژه $61\text{--}95 \text{ m}^2 \text{ g}^{-1}$ نیز سنتز فاز نیتریدی و در شرایط استوکیومتری و در درجه حرارت ۱۴۵۰ درجه سانتی گراد به میزان کافی مقدور نمی‌باشد و به دلیل عوامل همچون نسبت استوکیومتری کربن (میزان پلیمر)، درجه حرارت، زمان ماندگاری و سطح ویژه نانو کامپوزیت می‌تواند بر نوع فاز سیالون سنتز شده بسیار موثر باشد.

۴- نتیجه گیری

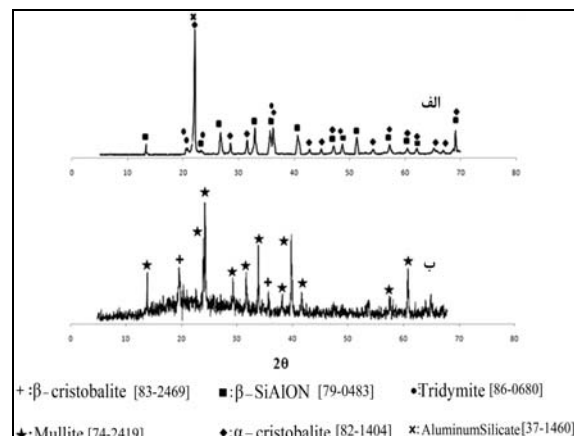
پیش‌سازه نانو کامپوزیت P4VP/Al-SBA-15 به عنوان ماده اولیه جهت سنتز سیالون تهیه گردید.

بررسی نمونه‌ی پیش‌سازه سنتز شده توسط آزمایشات BET، TEM، SEM، MAS-NMR، XRD اطمینان از حصول ساختار مناسب پیش‌سازه مزوپرروس صورت پذیرفت. نتایج بررسی‌های آنالیز فازی نشان داد که ساختار MZOپرروس، با تقارن p6mm به خوبی تشکیل شده که نتایج SEM و TEM نیز این موضوع را به خوبی تایید نمود، نتایج بررسی‌های DSC و تحت گاز N_2 از پیش‌سازه نانو کامپوزیت، مشخص نمود که از دمای ۸۰ درجه سانتی گراد به بالا فاز نیتریدی امکان تشکیل دارد، همچنین نتایج بررسی‌های

نانو کامپوزیت سنتز شده در اثر فرآیند حرارتی و در بین درجه حرارت اتفاق تا دمای ۱۲۰۰ درجه سانتی گراد، حدود ۱۸ درصد کاهش وزن داشته که با توجه به منحنی DSC به از دست دادن آب ساختاری ۱۵-Al-SBA-15 پس از فرآیند سنتز سل-ژل، تجزیه پلیمر و همچنین تغییرات وزنی در حدود ۹۰۰-۱۲۰۰ درجه سانتی گراد به دلیل خروج CO گازی و جذب نیتروژن در DSC موجود در شکل (۹) شروع عملیات نیتریداسیون از حدود ۱۱۰۰ درجه سانتی گراد بوده و لذا سیکل پخت جهت اطمینان حصول فاز نیتریدی و با توجه به مراجع به صورت شکل (۱) انتخاب گردید.



شکل (۹): نمودار TG/DSC نمونه نانو کامپوزیت ۱۵-P4VP/Al-SBA.



شکل (۱۰): طیف XRD نانو کامپوزیت ۱۵-P4VP/Al-SBA نیتریده شده:
(الف) زمان ماندگاری صفر ساعت و (ب) زمان ماندگاری ۶ ساعت.

- [5] M. Sopicka-Lizer, RA. Terpstra, and R. Metselaar, "Carbothermal Production of b-Sialon from Alumina, Silica and Carbon Mixture", Journal of Material Science, No.30, pp. 6363–6369, 1995.
- [6] H. Yoshimatsu, T. Yabuki, and H. Mihashi, "Preparation of Sialon from Mixture of SiO_2 and $\text{Al}_2\text{O}_3 \cdot 2\text{H}_2\text{O}$ by Thermal Carbon-Reduction", Journal of Ceramic Society, No. 95, pp. 590–594, 1987.
- [7] K. J. D. Mackenzie, R. H. Meinhold, G. V. White, and C. M. Sheppard, "Carbothermal formation of β -Sialon from Kaolinite and Halloysite Studied by Si^{29} and Al^{27} solid-state MAS NMR", Journal of Material Science, No. 29, pp. 2611–2619, 1994.
- [8] F. J. Li, T. Wakihara, J. Tatami, K. Komeya, T. Meguro, "Synthesis of β -Si₃Al₄O₉ Powder by Carbothermal Reduction-Nitridation of Zeolites with Different Compositions", Journal of the European Ceramic Society 27, pp. 2535–2540, 2007.
- [9] C. M. Sheppard and K. J. D. MacKenzie, "Silicothermal Synthesis and Densification of X-Sialon in the Presence of Metal Oxide Additives", Ceramic Society 19, pp. 535–541, 1999.
- [10] J. Li, H. Ma, Q. Fang, "Synthesis of Prismatic B-Sialon from the Precursor of SBA-15 Incorporated with $\text{Al}(\text{NO}_3)_3$ via Carbothermal Reduction", Ceramics International 34, pp. 1791–1795, 2008.
- [11] J. Kulys, R. vidziunate, "Kinetics of Laccase-Catalysed TEM Oxidation", J. Mol. Catal. B: Enzym. 37, 79, 2005.
- [12] D. Zhao, J. Feng, Q. Hou, N. Melosh, G.H. Fredrickson, B.F. Chmelka G.D. Stucky, "Triblock Copolymer Syntheses of Mesoporous Silica with Periodic 50 to 300 Angstrom Pores", Science 279., pp. 548–552, 1998.
- [13] Q. Yan, Q. L. and Q. Liu, "Synthesise of Rod-Like High-Purity β -Sialon Powder by a Novel Carbothermal Reduction-Nitridation Method with a Nanocasting Procedure", Journal of the American Ceramic Society, pp.1-3, 2010.
- [14] S. Lowell, J. E. Shields, M. A. Thomas and M. Thommes, "Characterization of Porous Solids and Powders: Surface Area, Pore Size and Density", Springer ISBN: 1402023022 K.S.W, 2004.
- ۶- پی‌نوشت
- 1- Intercalation compound**
2- Santa Barbara Amorphous
- [1] K. H. Jack, W. I Wilson, "Ceramics based on Si-Al-O-N and Related Systems", Nature Physical Science, Vol. 238, No. 80, pp. 28-29, 1972.
- [2] T. Ekstrom and M. Nygren, "Journal of the American Ceramic Society", pp. 259-276, 1992.
- [3] J. G. Lee, I. B. Cutler, "Sinterable Sialon Powder by Reaction of Clay with Carbon and Nitrogen", American Ceramic Society Bulletin, pp. 869–871, 1979.
- [4] K. H. Jack, " Review, Sialon and Related Nitrogen Ceramics ", Journal of Material Science, Vol. 11, pp. 1135-1158, 1978.
- ۵- مراجع
- نانو سایز حتمی بوده و Al در ترکیب با موقعیت‌های تراهدرال قرار گرفته است. همچنین تغییر موقعیت محل پیک سیلیکون در نمونه AI-SBA-15 و P4VP/AI-SBA-15 احکمی از این مطلب است که پلیمریزاسیون بر روی سطح AI-SBA-15 به صورت موقعیت‌آمیزی صورت گرفته است. بررسی نتایج الگوی تفرق اشعه X (XRD) از نمونه پخته شده در اتمسفر نیتروژن و در درجه حرارت‌های مختلف نشان داد که تعیین درجه حرارت و زمان نیتریداسیون از عوامل کنترل کننده اصلی سنتز فاز سیالون با خلوص بالا، سطح ویژه نسبتاً بالا و مقدار مناسب می‌باشد. نمونه پخته شده در اتمسفر نیتروژن و در درجه حرارت‌های مختلف نشان داد که سنتز فازهای نیتریدی علاوه بر درجه حرارت و زمان ماندگاری در درجه حرارت ماکریم، تابع شدید میزان کربن و احتمالاً نوع کربن بوده و حتی در حضور پیش سازه‌ای با سطح ویژه $61/95\text{m}^2\text{g}^{-1}$ نیز سنتز فاز نیتریدی، در شرایط استوکیومتری از لحاظ مقدار کربن و در درجه حرارت ۱۴۵۰ درجه سانتی گراد به طور کامل قابل انجام نمی‌باشد و در نظر گرفتن میزان کربن بالاتر از استوکیومتری امری اجتناب‌ناپذیر می‌باشد.